

## II-21 河口堰放流に伴う河口密度流現象について

徳島大学工学部 正員 尾島 勝

## 1. まえがき

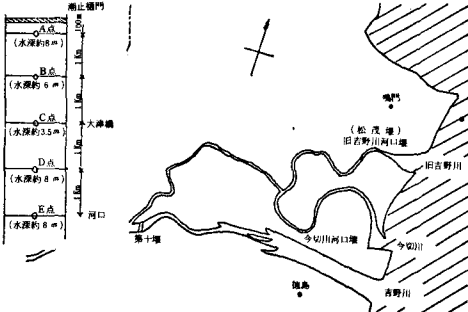
河口近くに堰を設け、塩水の逆上を防止することによって用水の水質保全と利水容量の増大をはかりうる水資源の開発方式が、近年數多く計画・実施されてゐる。しかし、そのためには周辺地下水の挙動と地下水質の変化、下流河道における渦・塩水の混合・拡散現象の変化、河口部海域における河口流出現象の変化などの河口堰設置ならびに堰放流による周辺水域への影響が十分に検討され、これらに対する対策が技術的に可能となるなければならない。しかし、まだ上記諸問題が十分に解明されたとはいえない、とくに河口密度抵抗現象の解明は、堰放流方式の決定の基礎となる重要な問題とされている。したがって、本研究においても視点を二つに合わせて、堰放流量と下流河直線における渦・塩水の混合・拡散現象との関連性を現地観測資料から把握するとともにその現象解析のためにス・トの解析方法を用いて検討しようとするものである。

## 2. 観測資料による河口水理現象の把握

観測が行われた旧若野川は、徳島平野に入った若野川河口より約14kmの冲才媛地点にからて本川から分流し、板野郡北島町でさ方に今切川と合流してともに紀伊水道に注いでいる。現在では本川の底水流流量をすべて分流させており、河口より約4km地点にあらる旧若野川河口堰と今切川河口より約7km地点にあらる今切川河口堰の操作によって、河川の維持および工業用水、農業用水、上水道用水などの利水に重要な役割をはたしている。観測は、表-1に示した都合4回である。しかし、二小川の観測時条件がそれを考慮するため、観測結果を相互に関連づけることは多くの困難を予想される。観測時の諸条件を表-1にまとめ、観測地点の概況と第4回目の観測点を図-1に、観測野の諸量を図-2に示した。

表-1 觀測時諸條件

	1	2	3	4
調査年月日	昭48.4.7	昭48.7.16	昭49.1.7	昭49.9.3~4
調査内容	端分導度	端分導度(流成)	流速分布(流成)	端分導度、流速分布
観測時間	10:00~17:00	6:00~15:00	14:00~24:00	19:00~7:00
堆積流時間	8:00~14:00	7:00~13:30	18:30~21:00	8:00~15:00
満・干潮位	$T.P+0.74m$ -0.70m	$T.P+0.64m$ -0.83m	$T.P+0.70m$ -0.82m	$T.P+0.87m$ -0.44m
潮差	1.64m	1.47m	1.72m	1.31m



### 圖-1 観測地点の概況と測点位置

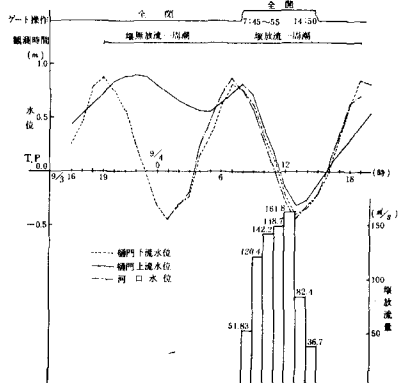


圖-2 觀測時の諸量

二の観察であり、二の間で淡水と海水の強い混合があらかじめあらかじめある。このことはすこし後に第四・第五によって田吉野川河口部の渇度流現象に及ぼす地形効果として考察されてい。

### 3. 現象の解析的検討

混合を無視した塩水標に  
もとづく解析、建設省土木  
研究所の渇度・高橋の塗表  
した混合を考慮した塩水標  
の解析、一次元移流分散方

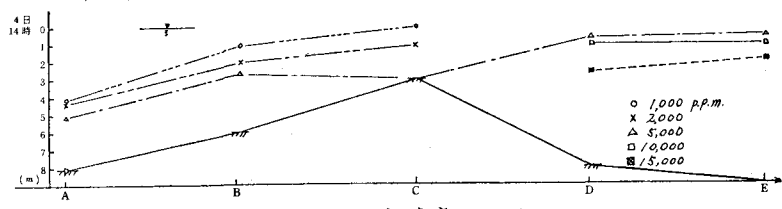


図-3 塩分濃度の変化

程式にもとづく解析の手法によつて観測結果を検討した。

混合を無視した塩水より理論の適合性についてみれば、図-4に示したように、1時間平均流量と約1時間の時間遅れを考慮するならば、河床二重配の変化が小よりD-E間にかけて流量140m<sup>3</sup>/秒程度までは良好である。なお、図中TYPE(A-II), TYPE(B-II)は数値シミュレーションの結果であつて、使用した物理諸量は、水深8m、渇幅200m、海水の塩分濃度16,700ppm,  $\varepsilon = 0.0197$ ,  $c_0 = 16,700$ ppm, 摩擦損失係数  $f_d = a\psi^{-n}$  の係数  $a$ , ベキ数  $n$  はTYPE-A では  $a = 0.52$ ,  $n = 0.415$  の渇度・高橋の値を, TYPE-B では  $a = 0.8$ ,  $n = 0.5$  の金子の値を採用したものである。

下層からの塩分流入を考慮する解析では、渇口部において塩分混入量が増大し、そのためには上層の渇度二重配の塊が地塊に沿って大きくなって標の形状が混合を無視したものに沿ってからなり異なる場合も数値計算によつてみられた。その理由として流速測定の精度があつたことや最大の因と考えられ、田吉野川河口部への適合性の検討にまでは至つていがい。

移流分散方程式による解析では、数値シミュレーションの結果と実測値との比較から分散係数を推定すると同時に塩分濃度の変動特性について考察した。その結果、最も適合性の良好なケースとして得られたものを図-5、図-6に示した。すなわち、田吉野川河口部における分散係数  $D_L = 20 \sim 30 m^2$ ,  $D_L/D_{\infty} = 250 \sim 400$  の範囲であると推定した。しかし、実測例も少なく、また流速の状態によつてもこの値は変化するので、数値の信頼性についてはまだ検討を要するところである。

すなわち、流速測定の精度の向上と全体の解析の信頼性を増すにはつながるし、地形効果を考慮することによつてより適合性をよくすることができるところであった。

### 4. 結論

以上のような考察のもとに、田吉野川河口塩下流河道における渇度流現象はつぎのようになされた。

① 測点A-C間の塩分濃度分布は、混合型渇度流にもとづく解析によく合致し、等濃度線の二重配が幾つかあることから複合型である。

② 測点C-D間については移流分散にもとづく解析の適合性の方がよい。

③ 測点D-E間にては、成層型渇度流とレインの解析が適用できる。

今後、現象の非定常性に対する検討を重ねていかねばならないと考える。

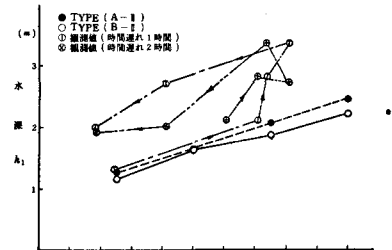


図-4 港より1km地点(D)の塩水水深

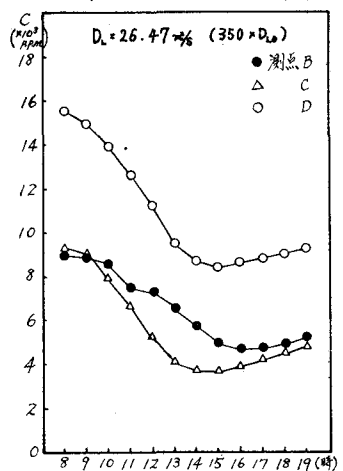


図-5 塩分濃度の時間的変化

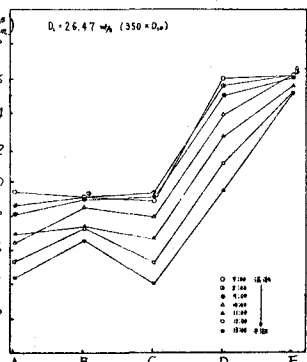


図-6 計算による放流時の塩分濃度